

## МАТЕМАТИЧЕСКОЕ МОДЕЛИРОВАНИЕ ПРОЦЕССА ТЕПЛОПРОВОДНОСТИ ДЛЯ 2D-ПЕРИОДИЧНЫХ КОМПОЗИТНЫХ АНИЗОТРОПНЫХ МАТЕРИАЛОВ

*Рассмотрен метод ячейковых функций, позволяющий рассчитывать температурные и тепловые поля для 2D-периодических композитов. Коэффициенты макротеплопроводности вычисляются как интегралы ячейковых функций, которые находятся путем решения семейства краевых задач на периодической ячейке.*

**Введение.** Номенклатура композиционных материалов, используемых для ограждающих и несущих конструкций как в промышленности, так и в строительстве, постоянно расширяется. Особую роль среди них занимают волокнистые композиционные материалы и материалы, армированные периодическими решетками. При расчете таких конструкций на прочность в условиях теплового нагружения необходимо знать распределение температуры внутри конструкции, т. к. именно изменения температуры являются причиной дополнительных напряжений в конструкции. Решению задачи теплопроводности применительно к волокнистым композитам посвящены многие работы (см., например, монографии [2, 7, 10]). Однако, подходы, используемые в них, базируются на введении гипотез об особенностях процесса теплопроводности, при этом вопрос о правомерности таких гипотез, как правило, остается открытым. То же самое можно сказать относительно решетчатых композитов (см., например, монографии [8, 12–17]). В данной работе используется метод ячейковых функций, который позволяет в явной форме получить коэффициенты теплопроводности для макрооднородной среды [3]. Знание этих коэффициентов в дальнейшем позволяет с помощью стандартных пакетов прикладных программ определить распределение температуры в конкретной конструкции. В литературе известен метод осреднения Бахвалова [1], который также базируется на малости размеров периодической ячейки по сравнению с размерами всей конструкции и не использует гипотез. В первом приближении оба метода дают одинаковый результат. Однако Бахваловым не было получено уравнение макротеплопроводности для произвольного приближения  $n$  в общем виде, и применение его метода к приближениям более высокого порядка, чем первый, затруднено из-за слабой проработанности общей теории для приближений высоких порядков.

**Основная часть.** Рассмотрим тело, материал которого образован связующим и включениями, расположенными периодически в плоскости  $Oxy$  (рис. 1), на которое действуют какие-либо тепловые нагрузки. Тогда внутри тела должно выполняться стационарное уравнение теплового равновесия:

$$\frac{\partial q_x}{\partial x} + \frac{\partial q_y}{\partial y} + \frac{\partial q_z}{\partial z} = -Q, \quad (1)$$

где  $Q$  – объемные источники тепла,  $q_\alpha$  – компоненты вектора теплового потока внутри среды. На границе перехода от одного материала к другому должны быть непрерывны тепловой поток и температура:

$$[q_n] = 0, \quad [T] = 0, \quad \alpha = \{x, y, z\}. \quad (2)$$

Внутри среды действует анизотропный закон теплопроводности Фурье, со-

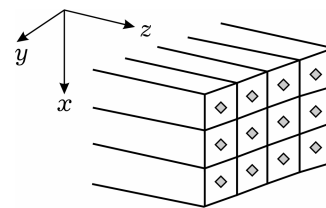


Рис. 1. Волокнистая среда.

держащий шесть независимых коэффициентов теплопроводности  $\lambda_{\alpha\beta}$  [14]:

$$q_\alpha = - \sum_{\beta \in \{x,y,z\}} \lambda_{\alpha\beta} \frac{\partial T}{\partial \beta}, \quad \alpha \in \{x,y,z\}. \quad (3)$$

Пусть  $h$  – линейный размер периодической ячейки вдоль осей  $Ox$  и  $Oy$ ,  $L$  – характерный размер тела,  $T_*$  и  $\lambda_*$  – характерные значения температуры и коэффициента теплопроводности. Перейдем к безразмерным переменным и функциям, для простоты не меняя их обозначений:

$$x \leftrightarrow \frac{x}{L}, \quad y \leftrightarrow \frac{y}{L}, \quad z \leftrightarrow \frac{z}{L}, \quad T \leftrightarrow \frac{T}{T_*}, \quad \lambda_{\alpha\beta} \leftrightarrow \frac{\lambda_{\alpha\beta}}{\lambda_*},$$

$$q_\alpha \leftrightarrow \frac{q_\alpha}{q_*}, \quad Q \leftrightarrow \frac{Qh}{q_*}, \quad q_* = \frac{\lambda_* T_*}{h}. \quad (4)$$

В дальнейшем будем считать, что отношение размера периодической ячейки среды к характерному размеру тела является малым параметром, который обозначим буквой  $\varepsilon$ :

$$\varepsilon = \frac{h}{L} \ll 1. \quad (5)$$

Уравнение (1) и закон теплопроводности (3) в новых переменных примут вид

$$\frac{\partial q_x}{\partial x} \varepsilon + \frac{\partial q_y}{\partial y} \varepsilon + \frac{\partial q_z}{\partial z} \varepsilon = -Q, \quad (6)$$

$$q_\alpha = - \sum_{\beta \in \{x,y,z\}} \lambda_{\alpha\beta} \frac{\partial T}{\partial \beta} \varepsilon, \quad \alpha \in \{x,y,z\}. \quad (7)$$

Внутри каждой периодической ячейки вводятся свои ячейковые координаты  $\xi_x, \xi_y$ :

$$x = x_i + \xi_x \varepsilon, \quad y = y_j + \xi_y \varepsilon, \quad \xi_x, \xi_y \in [0, 1], \quad (8)$$

где  $x_i, y_j$  – координаты вершины  $i$ -го периодического квадрата. Коэффициенты теплопроводности 2-периодической среды являются функциями только ячейковых координат  $\xi$ :

$$\lambda_{\alpha\beta} = \lambda_{\alpha\beta}(\xi_x, \xi_y), \quad \alpha, \beta \in \{x,y,z\}. \quad (9)$$

С учетом равенств (8) оператор частного дифференцирования запишем как

$$\frac{\partial}{\partial \alpha} = \frac{\partial}{\partial \alpha} + \frac{1}{\varepsilon} \frac{\partial}{\partial \xi_\alpha}, \quad \alpha \in \{x,y\}. \quad (10)$$

Задача (1)–(3) с учетом выражения (10) принимает вид:

– уравнение теплового равновесия

$$\frac{\partial q_x}{\partial x} \varepsilon + \frac{\partial q_y}{\partial y} \varepsilon + \frac{\partial q_z}{\partial z} \varepsilon + \frac{\partial q_x}{\partial \xi_x} + \frac{\partial q_y}{\partial \xi_y} = -Q; \quad (11)$$

– условие на границе перехода от одного материала к другому

$$[q_n] = 0, \quad [T] = 0, \quad \alpha = \{x,y,z\}; \quad (12)$$

– закон теплопроводности

$$q_\alpha = - \sum_{\beta \in \{x,y\}} \lambda_{\alpha\beta} \left( \frac{\partial T}{\partial \beta} \varepsilon + \frac{\partial T}{\partial \xi_\beta} \right) + \lambda_{\alpha z} \frac{\partial T}{\partial z} \varepsilon, \quad \alpha \in \{x,y,z\}. \quad (13)$$

Для решения задачи (11)–(13) используем метод асимптотического рас-

щепления, который был разработан в работе [6] и который является результативным для широкого класса задач (см., например, [5]), но применительно к периодическим средам получил название метода ячейковых функций [3, 4]. Для этого представим асимптотические приближения температуры и компонент теплового потока, как суммы частных дифференциальных операторов, коэффициенты которых зависят только от ячейковых переменных:

$$\begin{aligned} T^{(n)} &= \sum_{k=0}^n \left( \sum_{k_x+k_y+k_z=k} \Psi^{\mathbf{k}}(\boldsymbol{\xi}) \frac{\partial^k T_0^{(n)}}{\partial \mathbf{r}^{\mathbf{k}}} \varepsilon^k \right), \\ q_\alpha^{(n)} &= \sum_{k=0}^n \left( \sum_{k_x+k_y+k_z=k} K_\alpha^{\mathbf{k}}(\boldsymbol{\xi}) \frac{\partial^k T_0^{(n)}}{\partial \mathbf{r}^{\mathbf{k}}} \varepsilon^k \right), \end{aligned} \quad (14)$$

где использованы следующие обозначения:

$$\begin{aligned} \partial \mathbf{r}^{\mathbf{k}} &= \partial x^{k_x} \partial y^{k_y} \partial z^{k_z}, \\ \mathbf{k} &= (k_x, k_y, k_z) = k_x \mathbf{e}_x + k_y \mathbf{e}_y + k_z \mathbf{e}_z, \quad |\mathbf{k}| = k = k_x + k_y + k_z, \\ \mathbf{r} &= (x, y, z) = x \mathbf{e}_x + y \mathbf{e}_y + z \mathbf{e}_z, \\ \boldsymbol{\xi} &= (\xi_x, \xi_y) = \xi_x \mathbf{e}_x + \xi_y \mathbf{e}_y. \end{aligned}$$

Считаем, что объемные источники тепла имеют расщепленный вид относительно переменных макросреды и ячейковых переменных:

$$Q(\mathbf{r}, \boldsymbol{\xi}) = \alpha(\boldsymbol{\xi}) Q_0(\mathbf{r}), \quad (15)$$

причем равнодействующая сомножителя, зависящего от быстрых переменных, на ячейке равняется единице:

$$\int_0^1 \int_0^1 \alpha(\boldsymbol{\xi}) d\xi_x d\xi_y = 1. \quad (16)$$

В дальнейшем интеграл от какой-то величины по ячейковым переменным, взятый по всей ячейке, будем называть осреднением этой величины по ячейке и обозначать как

$$\langle \_ \rangle = \int_0^1 \int_0^1 \_ d\xi_x d\xi_y. \quad (17)$$

Из равенств (15), (16) следует, что функция  $Q_0$  имеет физический смысл среднего значения теплового источника на ячейке, т. е. это тепловой источник макросреды:

$$Q_0(\mathbf{r}) = \langle Q(\mathbf{r}, \boldsymbol{\xi}) \rangle. \quad (18)$$

Представим тепловой источник макросреды как сумму степеней дифференциальных операторов от температуры макросреды:

$$Q_0(\mathbf{r}) = \sum_{k=0}^n \left( \sum_{k_x+k_y+k_z=k} \Lambda^{\mathbf{k}} \frac{\partial^k T_0^{(n)}}{\partial \mathbf{r}^{\mathbf{k}}} \varepsilon^k \right), \quad \alpha \in \{x, y, z\}, \quad (19)$$

где  $\Lambda^{\mathbf{k}}$  – некоторые константы с векторным верхним индексом, которые будут определены позднее.

Подставив формулы (14), (15) и (19) в равенства (11)–(13) и приравняв коэффициенты при одинаковых дифференциальных операторах, получим систему уравнений в частных производных на неизвестные ячейковые функции:

– уравнение теплового равновесия ячейки

$$\frac{\partial K_x^{\mathbf{k}}}{\partial \xi_x} + \frac{\partial K_y^{\mathbf{k}}}{\partial \xi_y} + K_x^{\mathbf{k}-e_x} + K_y^{\mathbf{k}-e_y} + K_z^{\mathbf{k}-e_z} = -\mathfrak{a}(\xi)\Lambda^{\mathbf{k}}; \quad (20)$$

– закон теплопроводности внутри периодической ячейки

$$K_\alpha^{\mathbf{k}}(\xi) = - \sum_{\beta \in \{x,y\}} \lambda_{\alpha\beta} \left( \frac{\partial \Psi^{\mathbf{k}}}{\partial \xi_\beta} + \Psi^{\mathbf{k}-e_\beta} \right) - \lambda_{\alpha z} \Psi^{\mathbf{k}-e_z}, \quad \alpha \in \{x,y,z\}; \quad (21)$$

– условия сопряжения тепловых потоков и температур внутри ячейки

$$[K_n^{\mathbf{k}}] = 0, \quad [\Psi^{\mathbf{k}}] = 0; \quad (22)$$

– условия периодичности ячейковых функций

$$\begin{aligned} \Psi^{\mathbf{k}}(\xi) \Big|_{\xi_\alpha=0} &= \Psi^{\mathbf{k}}(\xi) \Big|_{\xi_\alpha=1}, \\ K_\alpha^{\mathbf{k}}(\xi) \Big|_{\xi_\alpha=0} &= K_\alpha^{\mathbf{k}}(\xi) \Big|_{\xi_\alpha=1}, \quad \alpha \in \{x,y,z\}. \end{aligned} \quad (23)$$

Равенства (20)–(23) для каждого фиксированного целочисленного вектора  $\mathbf{k}$  представляют собой краевую эллиптическую задачу нахождение периодических ячейковых функций  $\Psi^{\mathbf{k}}$ . Необходимое условие разрешимости этой задачи имеет вид:

$$\Lambda^{\mathbf{k}} = - \left\langle K_x^{\mathbf{k}-e_x} + K_y^{\mathbf{k}-e_y} + K_z^{\mathbf{k}-e_z} \right\rangle. \quad (24)$$

При  $k = 0$  решение задачи (20)–(24) имеет очевидное решение:

$$\Psi^{\mathbf{0}} = 1, \quad K_\alpha^{\mathbf{0}} = 0, \quad \alpha = \{x,y,z\}. \quad (25)$$

Тогда из (24) следует равенство

$$\Lambda^{\mathbf{k}} = 0, \quad |\mathbf{k}| = 1. \quad (26)$$

Равенство (19) с учетом (26) имеет вид

$$\sum_{k=2}^n \left( \sum_{k_x+k_y+k_z=k} \Lambda^{\mathbf{k}} \frac{\partial^k T_0^{(n)}}{\partial \mathbf{r}^{\mathbf{k}}} \varepsilon^k \right) = Q_0(\mathbf{r}). \quad (27)$$

Это равенство представляет собой уравнение макротеплопроводности для  $(n-1)$ -го приближения температуры макросреды  $T_0^{(n)}$ . (Первое приближение имеет место при  $n = 2$ ). Оно является уравнением в частных производных порядка  $n$ , теория таких уравнений рассмотрена в [6], в частности, из нее следует, что асимптотический смысл имеют не все решения этого уравнения, а только часть из них, регулярно зависящая от малого параметра  $\varepsilon$ , а это означает, что данное уравнение имеет нулевого порядка, равный двум.

Формулы (14) с учетом равенств (25) принимают вид

$$\begin{aligned} T^{(n)} &= T_0^{(n)} + \sum_{k=1}^n \left( \sum_{k_x+k_y+k_z=k} \Psi^{\mathbf{k}}(\xi) \frac{\partial^k T_0^{(n)}}{\partial \mathbf{r}^{\mathbf{k}}} \varepsilon^k \right), \\ q_\alpha^{(n)} &= \sum_{k=1}^n \left( \sum_{k_x+k_y+k_z=k} K_\alpha^{\mathbf{k}}(\xi) \frac{\partial^k T_0^{(n)}}{\partial \mathbf{r}^{\mathbf{k}}} \varepsilon^k \right), \end{aligned} \quad (28)$$

эти равенства позволяют определять температуру и компоненты теплового потока в периодической среде на основе решений уравнения (27) и краевых задач (20)–(24).

Величина  $T_0^{(n)}$  имеет физический смысл среднего значения распределения температуры на ячейке, т.е. эта величина является температурой

однородной макросреды:

$$T_0^{(n)} = \langle T^{(n)}(\mathbf{r}, \boldsymbol{\xi}) \rangle. \quad (29)$$

Наибольший интерес в любой асимптотической теории представляют самые первые приближения, в данном случае это  $n = 2$ . Осредним вектор теплового потока (28) при  $n = 2$  и рассмотрим его первое приближение. В дальнейшем верхние индексы, указывающие на номер асимптотического приближения, в целях упрощения записи опускаем:

$$\tilde{q}_\alpha = \sum_{\varphi \in \{x, z, y\}} \langle K_\alpha^{e_\varphi}(\boldsymbol{\xi}) \rangle \frac{\partial T_0}{\partial \varphi} \varepsilon, \quad \alpha = \{x, y, z\}. \quad (30)$$

Можно показать, что этот вектор удовлетворяет следующему уравнению теплового баланса:

$$\frac{\partial \tilde{q}_x}{\partial x} \varepsilon + \frac{\partial \tilde{q}_y}{\partial y} \varepsilon + \frac{\partial \tilde{q}_z}{\partial z} \varepsilon = -Q_0. \quad (31)$$

В уравнении (31) справа стоит тепловой источник макросреды, вектор  $\tilde{q}_\alpha$  зависит только от переменных макросреды, поэтому можно считать, что вектор  $\tilde{q}_\alpha$  – это вектор теплового потока в однородной макросреде, а уравнение (30) – это закон теплопроводности в макросреде. Этот закон может быть переписан в следующем виде:

$$\tilde{q}_\alpha = - \sum_{\varphi \in \{x, z, y\}} \tilde{\lambda}_{\alpha\varphi} \frac{\partial T_0}{\partial \varphi} \varepsilon, \quad (32)$$

где  $\tilde{\lambda}_{\alpha\varphi}$  – коэффициенты теплопроводности макросреды (коэффициенты макротеплопроводности), они рассчитываются на основе решений данных ячейковых краевых задач:

$$\tilde{\lambda}_{\alpha\varphi} = - \langle K_\alpha^{e_\varphi}(\boldsymbol{\xi}) \rangle, \quad \alpha, \varphi \in \{x, y, z\}. \quad (33)$$

Для расчета коэффициентов теплопроводности макросреды необходимо решить следующие три краевые задачи на ячейке:

– уравнение

$$\frac{\partial K_x^{e_\varphi}}{\partial \xi_x} + \frac{\partial K_y^{e_\varphi}}{\partial \xi_y} = 0, \quad \varphi = \{x, y, z\}; \quad (34)$$

– закон теплопроводности на ячейке

$$K_\alpha^{e_\varphi}(\boldsymbol{\xi}) = - \sum_{\beta \in \{x, y\}} \lambda_{\alpha\beta} \left( \frac{\partial \Psi^{e_\varphi}}{\partial \xi_\beta} + \delta_\beta^\varphi \right) - \lambda_{\alpha z} \delta_\alpha^\varphi, \quad \alpha \in \{x, y\}; \quad (35)$$

– условие непрерывности на границах раздела матрицы и включений

$$[K_n^{e_\varphi}] = 0, \quad [\Psi^{e_\varphi}] = 0, \quad \varphi = \{x, y, z\}; \quad (36)$$

– условие периодичности ячейковых функций

$$\Psi^{e_\varphi}(\boldsymbol{\xi}) \Big|_{\xi_\alpha=0} = \Psi^{e_\varphi}(\boldsymbol{\xi}) \Big|_{\xi_\alpha=1},$$

$$K_\alpha^{e_\varphi}(\boldsymbol{\xi}) \Big|_{\xi_\alpha=0} = K_\alpha^{e_\varphi}(\boldsymbol{\xi}) \Big|_{\xi_\alpha=1}, \quad \alpha \in \{x, y\}. \quad (37)$$

Ячейковая функция  $K_z^{e_\varphi}(\boldsymbol{\xi})$  находится прямым вычислением на основе решения краевых задач (34)–(37):

$$K_z^{e\varphi}(\xi) = - \sum_{\beta \in \{x,y\}} \lambda_{z\beta} \left( \frac{\partial \Psi^{e\varphi}}{\partial \xi_\beta} + \delta_\beta^\varphi \right) - \lambda_{zz} \delta_\alpha^\varphi, \quad \alpha \in \{x, y\}. \quad (38)$$

В частном и наиболее распространенном случае, когда и связующее и включения являются ортотропными средами, причем одна из осей ортотропии направлена перпендикулярно плоскости периодичности, краевая задача (34)–(37) при  $\varphi = z$  имеет тождественно нулевое решение и выражение для коэффициента теплопроводности макросреды  $\tilde{\lambda}_{zz}$  (33) с учетом равенства (38) принимает вид вычислительной формулы:

$$\tilde{\lambda}_{zz} = \langle \lambda_{zz} \rangle. \quad (39)$$

Формула (39) означает, что в направлении, перпендикулярном плоскости периодичности ячеек, коэффициент теплопроводности макросреды равен среднему значению коэффициентов на периодической ячейке. Такое правило вычисления макрохарактеристики называют правилом простой смеси. Формула (39) для двухсоставных материалов может быть переписана в другом виде:

$$\tilde{\lambda}_{zz} = \frac{\lambda_B S_B + \lambda_C S_C}{S_B + S_C}, \quad (40)$$

где  $\lambda_B, \lambda_C$  – коэффициенты теплопроводности волокна и связующего;  $S_B, S_C$  – площадь включения и связующего в ячейке. Другим распространенным правилом вычисления макрохарактеристики для двухфазных сред является правило обратной смеси [3, 7]

$$\lambda_{\text{гм}} = \frac{\lambda_B \lambda_C (S_B + S_C)}{\lambda_C S_B + \lambda_B S_C}. \quad (41)$$

Это правило будет использовано для сравнения при анализе полученных результатов.

#### Расчеты и их анализ.

**Волокнистые среды.** Для определения коэффициентов теплопроводности волокнистой макросреды решается краевая задача (34)–(37) с помощью метода конечных элементов. Расчеты производятся для ячейки, заполненной двумя материалами с разными значениями коэффициента теплопроводности: материалом связующего и материалом волокна. Теплопроводность связующего равна 1, а теплопроводность включения (волокна) равна 0.01 в безразмерных единицах, этим цифрам примерно соответствуют железо и керамика. Для исследования влияния формы поперечного сечения волокна на значение макрохарактеристики в расчетах использовались волокна разной поперечной формы: квадрат, крестовина, трубчатое, круг (рис. 2). Значения макротеплопроводности в направлении осей  $OX$  и  $OY$ , лежащих в плоскости перпендикулярной волокну, совпадают и определяются посредством численного счета, макротеплопроводность в направлении оси  $OZ$  определяется по формуле простой смеси (40).

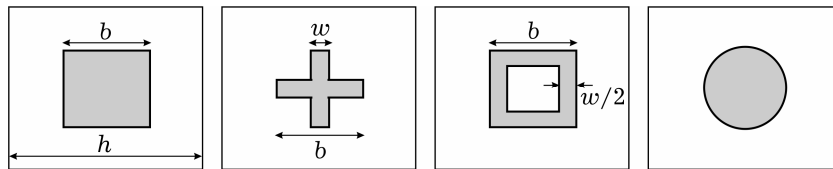


Рис. 2. Периодические ячейки с арматурными волокнами различной формы поперечных сечений.

На рис. 3 представлены графики зависимости макротеплопроводности от отношения площади включения к площади ячейки. Кривая 1 вычислена по правилу смеси (40), 2 – по правилу обратной смеси (41), 3 – график для

квадратного сечения, кривая 4 – для трубчатого сечения, 5 – для крестовины. Кривые для всех включений лежат в промежутке между кривыми 1 и 2. Расчеты для волокна круглого сечения не приведены, т. к. они с точностью до 1% совпадают с расчетами для волокна квадратного сечения.

Отклонения численных расчетов от расчетов по правилу смеси весьма существенны: в случае квадрата – до 40%, в случае трубчатого сечения – до 60%. При одинаковой площади волокна разница между макротеплопроводностями для трубчатого и квадратного волокон весьма существенна. Макротеплопроводность зависит от площади нелинейно, например, в случае трубчатого сечения при относительной площади, равной 0.3, дальнейшее её увеличение не приводит к изменению макротеплопроводности.

На рис. 4 сравниваются численные расчеты с имеющимися аналитическими формулами расчета макрохарактеристик, формулами Хашина – Штрикмана и формулами Ванина для круглых волокон:

$$\lambda_{\text{Cha-Sht}} = \lambda_C \left[ 1 + \frac{c}{\lambda_C/(\lambda_B + \lambda_C) + (1-c)/2} \right], \quad c = \frac{S_B}{S}, \quad (42)$$

где  $S$  – площадь всей ячейки;

$$\lambda_{\text{Van}} = \lambda_0 \left[ 1 - 48 \frac{\lambda_0}{\lambda_C} \left( \frac{1 - \lambda_B/\lambda_C}{(1-c) + (1+c)\lambda_B/\lambda_C} \right)^2 \times \right. \\ \left. \times \frac{\sin^2(\pi/2)}{\pi^4} \left( c^2 - c^8 \left\{ \frac{1 - \lambda_B/\lambda_C}{1 + \lambda_B/\lambda_C} \right\}^2 \right) \right], \\ \lambda_0 = \lambda_C \left[ \frac{1+c + (1-c)\lambda_C/\lambda_B}{1-c + (1+c)\lambda_C/\lambda_B} \right]. \quad (43)$$

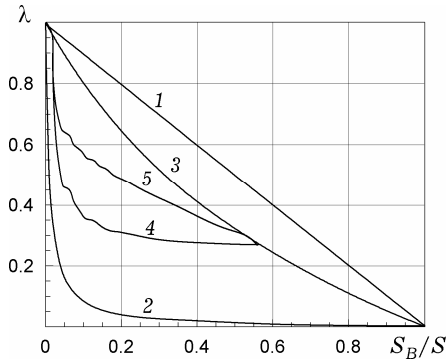


Рис. 3. Сравнение макротеплопроводностей для включений различной формы.

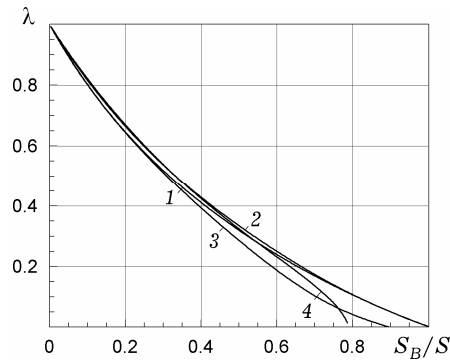


Рис. 4. Сравнение численного решения (кривая 1 – для квадратного сечения, 4 – для круглого) и по аналитическим формулам (42) и (43) (кривая 2 и кривая 3).

При относительной площади, меньше 0.4, отклонение не превосходит 10% и фактически может использоваться для подсчета характеристик любая из этих формул. Дальнейшее увеличение площади включения приводит к существенному росту разницы: для формулы Ванина вплоть до 30%, а для формулы Хашина – Штрикмана – до 100%.

Окончательно можно сделать следующий вывод. При небольшой разнице между теплопроводностями волокна и связующего или при достаточно малом размере волокна значения макротеплопроводности в поперечном направлении могут быть рассчитаны при помощи правила простой смеси. Если же размеры включения велики или разность теплопроводностей велика, то в этих случаях правило смеси дает ошибки, превышающие 100%.

**Решетчатые структуры.** Рассмотрим 2-периодическую среду, состоящую из решетки, выполненной из одного материала, и связующего, заполняющим собой все оставшееся пространство (рис. 5). Решетка выполнена

из изотропного алюминиевого сплава  $\lambda = 146.538$  Вт/(мК), а в качестве связующего применяется пенопластмасса марки ПХВ-1  $\lambda = 0.030238$  Вт/(мК). Этот пример взят из работы А. П. Янковского [11], который рассчитывает макрохарактеристики теплопроводности с помощью двух методов: статического и кинематического. Каждый из методов является гипотетическим и базируется на введении своих шести гипотез. Оказалось, что по обеим моделям Янковского коэффициенты  $\lambda_{xx}$  и  $\lambda_{yy}$

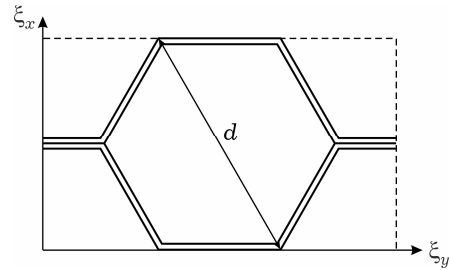


Рис. 5. Ячейка периодической решетки.

не равны друг другу.

Однако расчеты, выполненные по методу ячейковых функций, представленному в данной работе, показали, что эти коэффициенты для данной решетки в точности совпадают. Результаты представлены на рис. 6 в зависимости от процента армирования периодической решетки. Относительное отклонение указанных коэффициентов макротеплопроводности от соответствующих коэффициентов, рассчитанных по методу ячейковых функций, представлены на рис. 7.

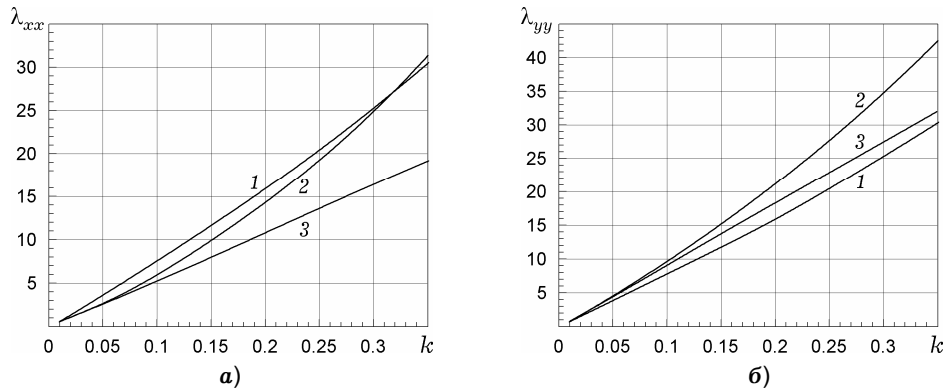


Рис. 6. Зависимости коэффициентов макротеплопроводности  $\lambda_{xx}$  и  $\lambda_{yy}$  от коэффициента (процента) армирования для периодической решетки (рис. 5), рассчитанные: по методу данной работы – кривые 1, по статическому методу из [11] – кривые 2, по кинематическому методу из [11] – кривые 3.

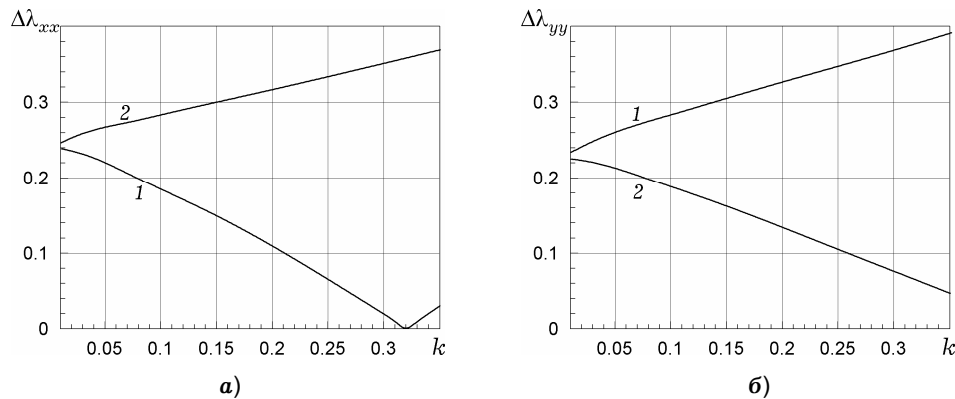


Рис. 7. Зависимости относительных отклонений коэффициентов макротеплопроводности  $\Delta\lambda_{xx}$  и  $\Delta\lambda_{yy}$  в сравнении с коэффициентами, вычисленными по методу данной работы, от коэффициента (процента) армирования периодической решетки (рис. 5), рассчитанные: по статическому методу из [11] – кривые 1, по кинематическому методу из [11] – кривые 2.



При малом коэффициенте армирования (а Янковский рассматривал свой пример при величине этого коэффициента, равной 0.019) разница по обоим методам составляет 23 – 25 %. Причем оказалось, что при увеличении коэффициента армирования ошибка, даваемая статическим методом, для коэффициента  $\lambda_{xx}$  уменьшается, а ошибка, даваемая кинематическим методом, возрастает. Для коэффициента же  $\lambda_{yy}$  все обстоит наоборот: при увеличении коэффициента армирования ошибка, даваемая статическим методом, возрастает, а ошибка, даваемая кинематическим методом, убывает. Следует сказать, что для структур армирования, которые не замкнуты, т. е. которые можно условно назвать разорванными решетками, методы работы [11] дают результаты, погрешность которых составляет сотни процентов, и, следовательно, являются неприменимыми.

**Заключение.** Разработанный авторами метод ячейковых функций для анализа разнообразных процессов в периодических средах применён для исследования теплопроводности 2D-периодических композитных анизотропных материалов. Метод позволяет с единых позиций без использования каких-либо дополнительных гипотез определять осредненные характеристики теплопроводности и исследовать особенности распределения тепловых полей в комбинированных композитных структурах с различными геометрическими формами включений. Изучено влияние относительной площади и геометрической формы поперечных сечений включения на осредненные характеристики теплопроводности композита. Приведены сравнительные расчеты с характеристиками, получаемыми на основе иных теоретических подходов.

Работа выполнена при поддержке гранта РФФИ № 14-01-90400 Укр\_а.

1. Бахвалов Н. С., Панасенко Г. П. Осреднение процессов в периодических средах. Математические задачи механики композиционных материалов. – Москва: Наука, 1984. – 352 с.
2. Ванин Г. А. Микромеханика композитных материалов. – Киев: Наук. думка, 1985. – 304 с.
3. Горынин Г. Л., Власко А. Ф. Математическое моделирование упругих макрохарактеристик для волокнистых материалов при расчете конструкций транспортных сооружений // Вестн. Сиб. гос. автомоб.-дорожн. акад. – 2013. – Вып. 1 (29). – С. 58–64.
4. Горынин Г. Л., Немировский Ю. В. Метод асимптотического расщепления для упругой 3-периодической среды // Современные проблемы прикладной математики и механики: теория, эксперимент и практика [Электронный ресурс] / Междунар. конф, посвященная 90-летию со дня рождения акад. Н. Н. Яненко (Новосибирск, Россия, 30 мая – 4 июня 2011), Новосибирск: ИВТ СО РАН, 2011.
5. Горынин Г. Л., Немировский Ю. В. Метод жесткостных функций в задачах расчета многослойных стержней при температурных нагрузках // Мат. методы та физ.-мех. поля. – 2012. – 55, № 2. – С. 144–155.  
То же: Gorynin G. L., Nemirovskii Yu. V. Method of rigidity functions in problems of computation of multilayer bars under temperature loads // J. Math. Sci. – 2013. – 192, No. 6. – P. 650–663.
6. Горынин Г. Л., Немировский Ю. В. Пространственные задачи изгиба и кручения слоистых конструкций. Метод асимптотического расщепления. – Новосибирск: Наука, 2004. – 408 с.
7. Кристенсен Р. Введение в механику композитов / Под ред. Ю. М. Тарнопольского. – Москва: Мир, 1982. – 334 с.  
То же: Christensen R. M. Mechanics of composite materials. – New York: Wiley, 1979. – 348 p.
8. Немировский Ю. В., Янковский А. П. Теплопроводность однородных и композитных тонкостенных конструкций. – Новосибирск: Арт-Авеню, 2008. – 511 с.
9. Новацкий В. Теория упругости. – Москва: Мир, 1975. – 872 с.  
То же: Nowacki W. Thermoelasticity. – London: Pergamon, 1962. – 628 p.
10. Шермергор Т. Д. Теория упругости микронеоднородных сред. – Москва: Наука, 1977. – 400 с.

11. Янковский А. П. Определение эффективных коэффициентов теплопроводности ребристо-армированных пенопластмасс на основе энергетического критерия эквивалентности // *Мат. методы та фіз.-мех. поля.* – 2011. – **54**, № 1. – С. 220–231.  
То же: Yankovskii A. P. Determination of the effective coefficients of thermal conductivity of rib-reinforced polyfoams on the basis of the energy criterion of equivalence // *J. Math. Sci.* – 2012. – **183**, No. 2. – P. 261–273.
12. Dasgupta A., Agarwal R. K. Orthotropic thermal conductivity of plain-weave fabric composites using a homogenization technique // *J. Compos. Mater.* – 1992. – **26**, No. 18. – P. 2736–2758.
13. Hasselman D. P. H., Donaldson K. Y., Thomas J. R. Effective thermal conductivity of uniaxial composites with cylindrically orthotropic carbon fibers and interfacial thermal barrier // *J. Compos. Mater.* – 1993. – **27**, No. 6. – P. 637–644.
14. Hasselman D. P. H., Johnson L. F. Effective thermal conductivity of composites with interfacial thermal barrier resistance // *J. Compos. Mater.* – 1987. – **21**, No. 6. – P. 508–515.
15. Schuster J., Heider D., Sharp K., Glowania M. Measuring and modeling the thermal conductivities of three-dimensionally woven fabric composites // *Mech. Compos. Mater.* – 2009. – **45**, No. 2. – P. 165–174.
16. Thomann U. I., Sauter M., Ermanni P. A combined impregnation and heat transfer model for stamp forming of unconsolidated commingled yarn performs // *Compos. Sci. Technol.* – 2004. – **64**, No. 10–11. – P. 1637–1651.
17. Turias I. J., Gutiérrez J. M., Galindo P. L. Modelling the effective conductivity of a unidirectional composite by the use artificial neural networks // *Compos. Sci. Technol.* – 2005. – **65**, No. 3–4. – P. 609–619.

#### **МАТЕМАТИЧНЕ МОДЕЛЮВАННЯ ПРОЦЕСУ ТЕПЛОПРОВІДНОСТІ ДЛЯ 2D-ПЕРІОДИЧНИХ АНІЗОТРОПНИХ КОМПЗИТНИХ МАТЕРІАЛІВ**

*Розглянуто метод коміркових функцій, який дозволяє розраховувати температурні і теплові поля для 2D-періодичних композитів. Коефіцієнти макротеплопровідності обчислюються як інтеграли коміркових функцій, які знаходяться шляхом розв'язання сім'ї крайових задач на періодичній комірці.*

#### **MATHEMATICAL MODELING OF HEAT CONDUCTION PROCESS FOR 2D-PERIODIC ANISOTROPIC COMPOSITE MATERIALS**

*The method of cell functions, which allows to calculate the temperature and thermal field for 2D-periodic composites is considered. The coefficients of macro-thermal conductivity are calculated as integrals of cell functions which are found by solving the family of boundary problems on the periodic cell.*

<sup>1</sup> Сургут. гос. ун-т, Сургут, Россия,

<sup>2</sup> Ин-т теорет. и прикл. механики  
им. С. А. Христиановича СО РАН, Новосибирск, Россия

Получено  
27.12.13